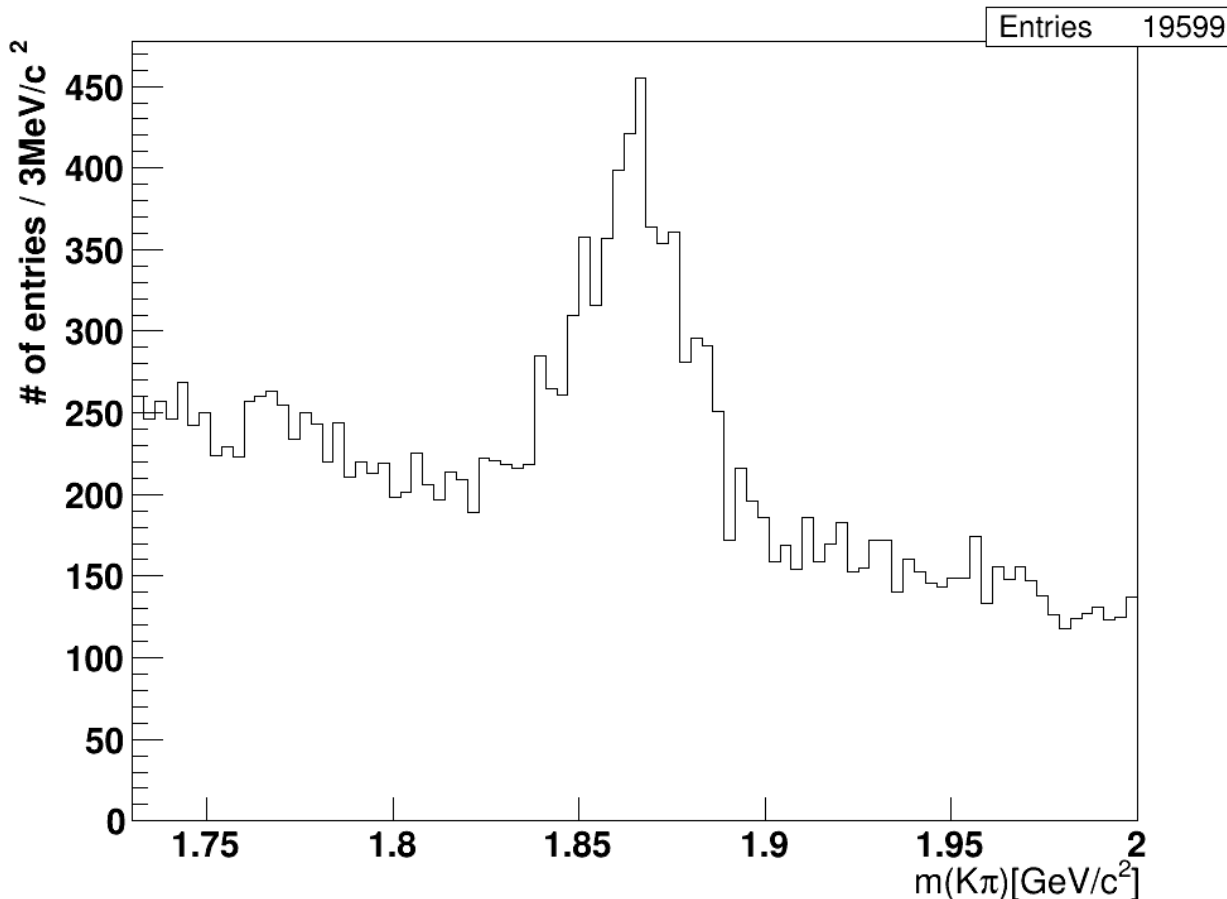
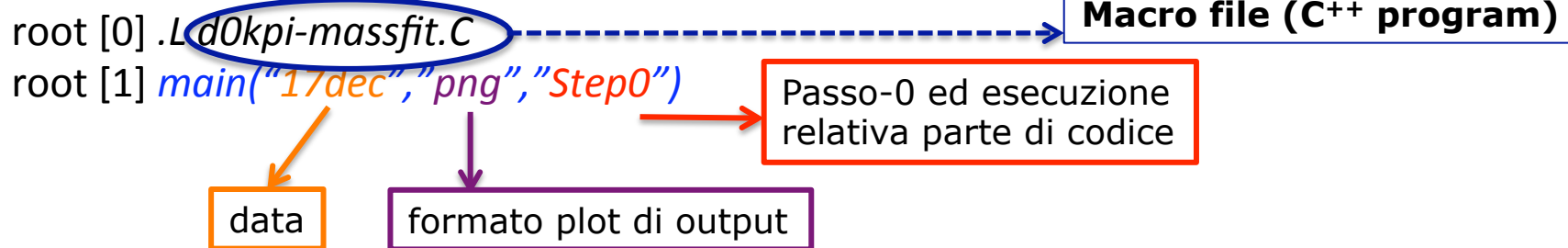


**Interpolazione della distribuzione
di massa invariante
(segnaletica di una particella)**

Esercitazione del Corso di ***Laboratorio Analisi Dati***
Secondo anno Magistrale / Primo Semestre
docente: **Alexis Pompili**

Preliminarmente visualizziamo la distribuzione che deve essere interpolata:



Preliminarmente discutiamo il modello di interpolazione
che pensiamo di usare al fine di implementare la relativa PDF :

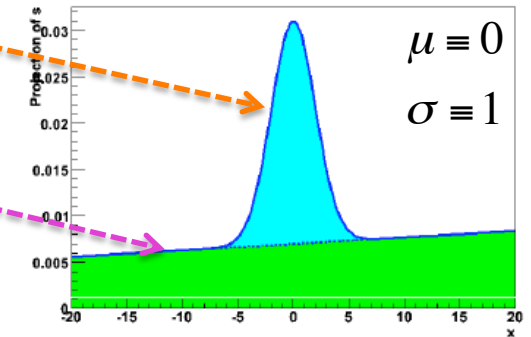
1) denoto $x \equiv m_{K\pi}$

2) $f(x) = f_{sig}(x) + f_{bkg}(x)$ non e' una PDF: non e' normalizzata poiche'

$$f_{sig}(x) = \frac{A}{\sqrt{2\pi\sigma^2}} e^{-\frac{1}{2}\left(\frac{x-\mu}{\sigma}\right)^2} \quad \text{e' una funzione gaussiana}$$

$$f_{bkg}(x) = a + bx \quad \text{e' una retta (polinomiale di ord.1)}$$

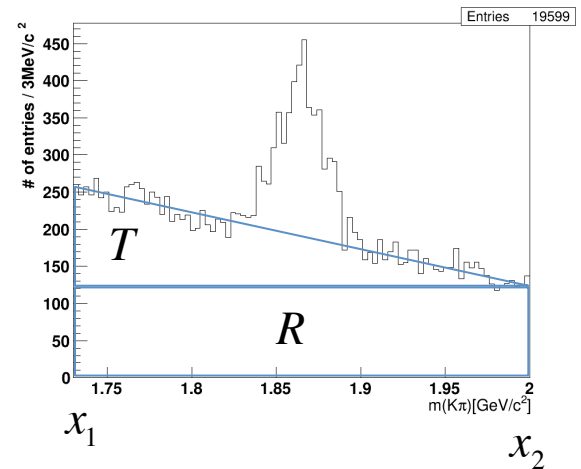
3) come si normalizzano separatamente le due funzioni?



$$\tilde{f}_{sig}(x) = \frac{1}{\sqrt{2\pi\sigma^2}} e^{-\frac{1}{2}\left(\frac{x-\mu}{\sigma}\right)^2} \quad (\text{banalmente si elimina il coeff. multiplicative A})$$

$$\tilde{f}_{bkg}(x) = \frac{a + bx}{\int_{x_1}^{x_2} (a + bx) dx} \quad (\text{si divide per l'area sotto la retta})$$

$$a(x_2 - x_1) + \frac{1}{2} b(x_2^2 - x_1^2) = T + R$$



dimostrazione alla ... slide seguente !

Dimostrazione:

equazione della retta: $y_1 - y_2 = b(x_2 - x_1)$

$$< 0 \quad < 0 \quad > 0$$

e in generale: $y_1 - y(x) = b(x_2 - x)$

che, se vogliamo nella forma $y(x) = a + bx$,

richiede : $a = y_1 - bx_2$ (cioè $y_1 = a + bx_2$)

Calcoliamo ora le aree geometricamente:

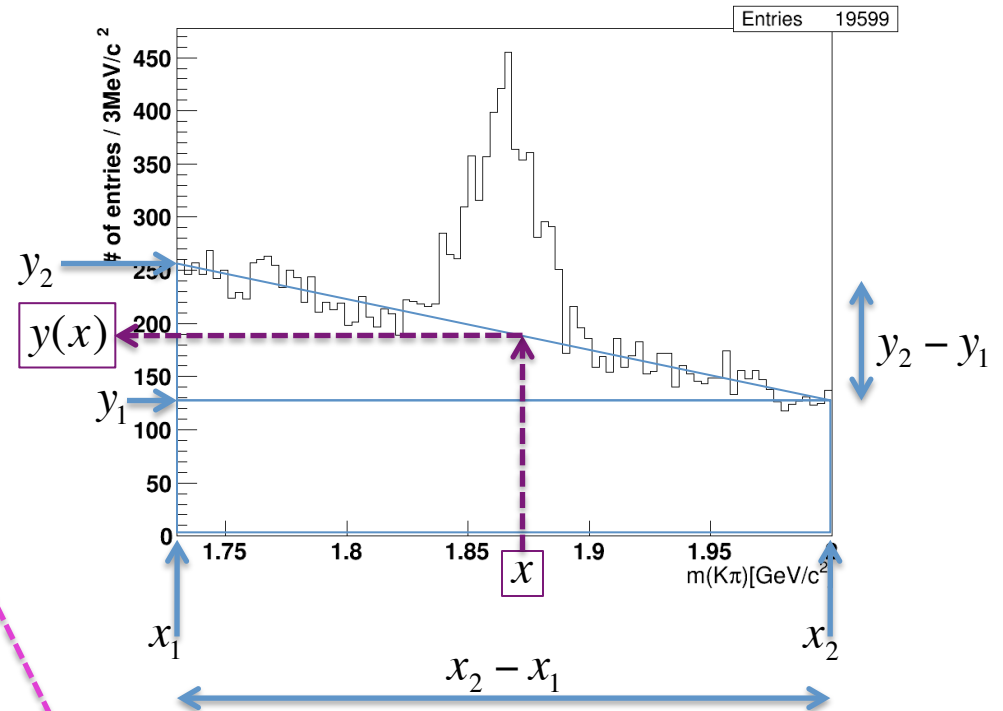
- **Triangolo** $T = \frac{1}{2}(y_2 - y_1)(x_2 - x_1)$

- **Rettangolo** $R = y_1(x_2 - x_1)$

L'area totale ...

sotto la retta e': $R + T = y_1(x_2 - x_1) + \frac{1}{2}(y_2 - y_1)(x_2 - x_1) = (a + bx_2)(x_2 - x_1) + \frac{1}{2}b(x_1 - x_2)(x_2 - x_1)$

da cui, con un po' di algebra, si ottiene: $T + R = a(x_2 - x_1) + \frac{1}{2}b(x_2^2 - x_1^2)$ **(c.v.d.)**



La PDF complessiva deve essere a sua volta normalizzata, per cui non puo'

essere banalmente $\tilde{f}(x) = \tilde{f}_{sig}(x) + \tilde{f}_{bkg}(x)$ **bensi':** $\tilde{f}(x) = f_S \tilde{f}_{sig}(x) + (1 - f_S) \tilde{f}_{bkg}(x)$

... essendo $f_S = \frac{N_{sig}}{N_{tot}} = \frac{\# \text{candidati di segnale}}{\# \text{candidati totale}}$ **la cosiddetta *frazione di segnale*.**

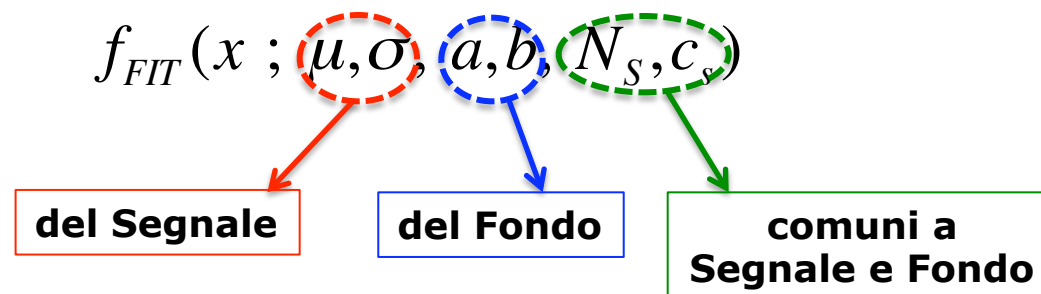
Ma questa PDF non puo' interpolare l'istogramma (avendo appunto area unitaria) ed e' quindi necessario introdurre un ulteriore parametro moltiplicativo che consenta di scalare la funzione PDF (normalizzata) all'istogramma:

$$f_{FIT}(x) = c_s \cdot \tilde{f}(x)$$

dove c_s e' il cosiddetto *fattore di scala*.

Si noti che i parametri liberi sono 6 e non 7 come potrebbe sembrare poiche' N_{tot} viene fissato al numero totale di entrate nell'istogramma!

Pertanto il modello di interpolazione (a 6 parametri liberi) e' dato dalla:



Per eseguire l'interpolazione (STEP-1):

```
root [0] .L d0kpi-massfit.C  
root [1] main("17dec","png","Step1")
```

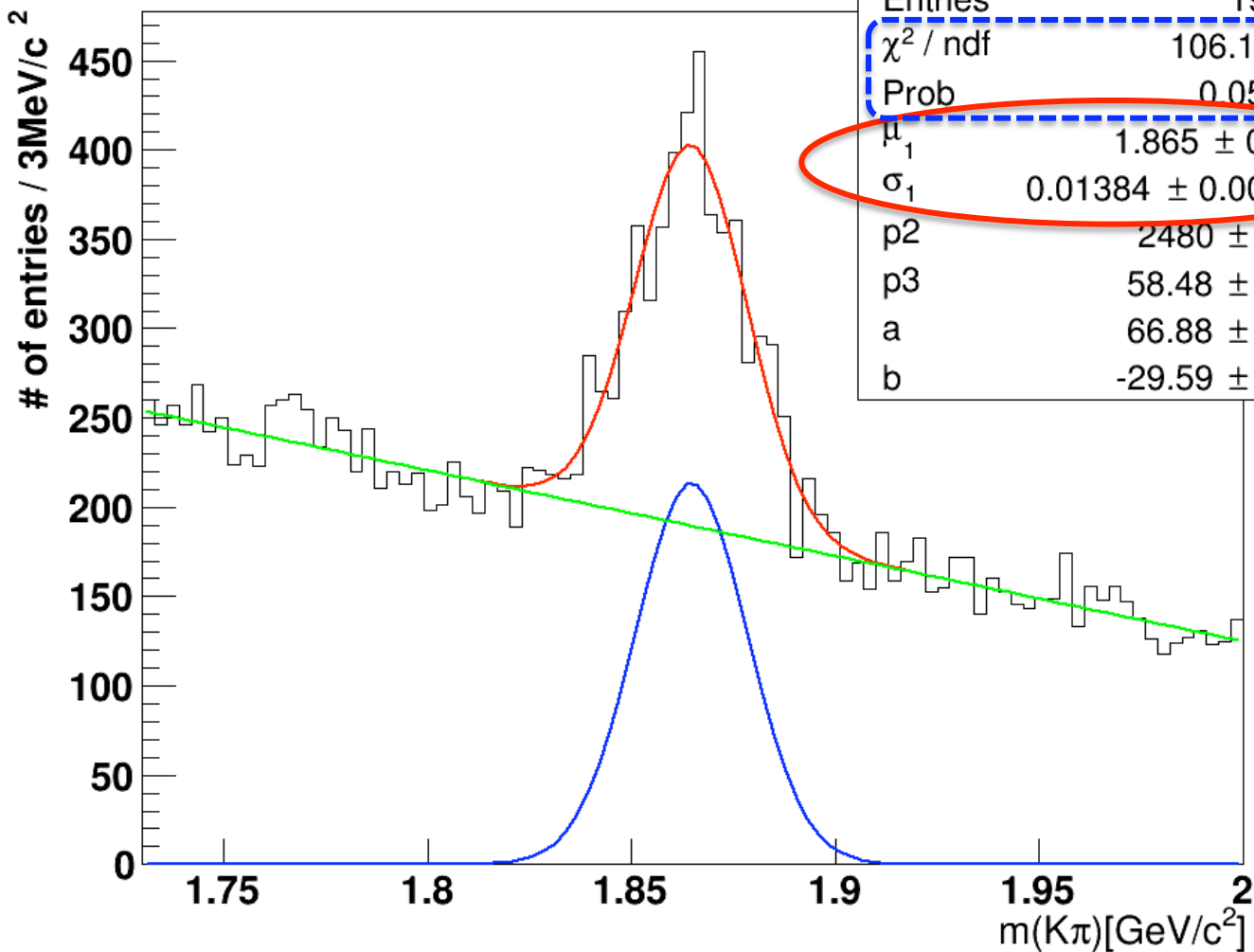
Ottenendo ...

| EXT PARAMETER | | STEP FIRST | | | |
|---------------|------------|--------------|-------------|--------------|--------------|
| NO. | NAME | VALUE | ERROR | SIZE | DERIVATIVE |
| 1 | #mu_{1} | 1.86479e+00 | 5.52379e-04 | -1.70695e-07 | -1.96244e-01 |
| 2 | #sigma_{1} | 1.38370e-02 | 5.52320e-04 | 3.21210e-07 | -1.51908e-01 |
| 3 | p2 | 2.48036e+03 | 9.40077e+01 | -1.03036e-01 | 4.39934e-07 |
| 4 | p3 | 5.84786e+01 | 4.16854e-01 | 1.96901e-04 | 2.29055e-04 |
| 5 | p4 | 1.95990e+04 | fixed | | |
| 6 | a | 6.68809e+01 | 2.56167e-01 | -1.92659e-05 | -3.40888e-04 |
| 7 | b | -2.95914e+01 | 1.20525e-01 | -9.20883e-06 | -7.68731e-04 |

$\hat{m} \cong (1864.79 \pm 0.55) MeV$

$\hat{\sigma} \cong (13.84 \pm 0.55) MeV$

**Risultato dell'interpolazione con un modello
che prevede una singola gaussiana per il segnale
ed una polinomiale di ord.1 per il fondo (fondo lineare) :**



ragionevole

compatibile
con il PDG

risoluzione
sperimentale
in massa

Argomentiamo le considerazioni precedenti :

1) Massa : J. Beringer *et al.* (Particle Data Group), PR D86, 010001 (2012)

| | |
|---|--------------------------------------|
| D^0 | $I(J^P) = \frac{1}{2}(0^-)$ |
| D^0 MASS | |
| The fit includes D^\pm , D^0 , D_s^\pm , $D^{*\pm}$, D^{*0} , $D_s^{*\pm}$, $D_1(2420)^0$, $D_2^*(2460)^0$, and $D_{s1}(2536)^\pm$ mass and mass difference measurements. | |
| VALUE (MeV) | EVTS |
| 1864.86 ± 0.13 OUR FIT | |
| 1864.91 ± 0.17 OUR AVERAGE | |
| 1865.30 ± 0.33 ± 0.23 | 98 ± 13 |
| 1864.847 ± 0.150 ± 0.095 | 319 ± 18 |
| 1864.6 ± 0.3 ± 1.0 | 641 |
| DOCUMENT ID | TECN |
| ANASHIN | 10A KEDR $e^+ e^-$ at $\psi(3770)$ |
| CAWLFIELD | 07 CLEO $D^0 \rightarrow K_S^0 \phi$ |
| BARLAG | 90c ACCM π^- Cu 230 GeV |
| COMMENT | |

2) Larghezza : BaBar Collaboration, Phys. Rev. D 88, 052003 (2013)

We measure the mass difference, Δm_0 , between the $D^*(2010)^+$ and the D^0 and the natural line width, Γ , of the transition $D^*(2010)^+ \rightarrow D^0\pi^+$. The data were recorded with the BABAR detector at center-of-mass energies at and near the $\Upsilon(4S)$ resonance, and correspond to an integrated luminosity of approximately 477 fb^{-1} . The D^0 is reconstructed in the decay modes $D^0 \rightarrow K^-\pi^+$ and $D^0 \rightarrow K^-\pi^+\pi^-\pi^+$. For the decay mode $D^0 \rightarrow K^-\pi^+$ we obtain $\Gamma = (83.4 \pm 1.7 \pm 1.5) \text{ keV}$ and $\Delta m_0 = (145\,425.6 \pm 0.6 \pm 1.8) \text{ keV}$, where the quoted errors are statistical and systematic, respectively. For the $D^0 \rightarrow K^-\pi^+\pi^-\pi^+$ mode we obtain $\Gamma = (83.2 \pm 1.5 \pm 2.6) \text{ keV}$ and $\Delta m_0 = (145\,426.6 \pm 0.5 \pm 2.0) \text{ keV}$. The combined measurements yield $\Gamma = (83.3 \pm 1.2 \pm 1.4) \text{ keV}$ and $\Delta m_0 = (145\,425.9 \pm 0.4 \pm 1.7) \text{ keV}$; the width is a factor of approximately 12 times more precise than the previous value, while the mass difference is a factor of approximately 6 times more precise.

Interpolazione & calcolo di *yield*, significativa' statistica e purezza del segnale:

```
root [0] .L d0kpi-massfit.C
root [1] main("17dec","png","Step2")
```

```
FCN=106.142 FROM MIGRAD      STATUS=CONVERGED      131 CALLS      132 TOTAL
                           EDM=1.18784e-08   STRATEGY= 1  ERROR MATRIX UNCERTAINTY   4.9 per cent
EXT PARAMETER                      STEP          FIRST
 NO.  NAME        VALUE       ERROR        SIZE      DERIVATIVE
 1 #mu_{1}      1.86479e+00  5.52379e-04 -1.70695e-07 -1.96244e-01 -----> massa
 2 #sigma_{1}    1.38370e-02  5.52320e-04  3.21210e-07 -1.51908e-01 -----> risoluzione
 3 p2           2.48036e+03  9.40077e+01 -1.03036e-01  4.39934e-07 -----> candidati di segnale
 4 p3           5.84786e+01  4.16854e-01  1.96901e-04  2.29055e-04 -----> fattore di scala
 5 p4           1.95990e+04    fixed
 6 a            6.68809e+01  2.56167e-01 -1.92659e-05 -3.40888e-04 -----> intercetta
 7 b           -2.95914e+01  1.20525e-01 -9.20883e-06 -7.68731e-04 -----> coeff.ang.

chi2 = 106.142 , ndf = 84 so that: norm-chi2 = 1.26359
integral gauss (SIG-fraction) = 0.126555
integral background (BKG-fraction) = 0.873445
num. total candidates (as entries in the histogram) = 19599
num. signal candidates as estimated by the fit = 2480.36 +/- 94.0077
===== USING WHOLE FIT MODEL (S+B) =====
num. S+B in (1.83712 , 1.89247) = 5878.56
num. S in (1.83712 , 1.89247) = 2367.5
num. B in (1.83712 , 1.89247) = 3511.06
===== USING ONLY BKG-FIT MODEL (BKG from sidebands) =====
num. S+B in (1.835 , 1.895) = 6231
num. S in (1.835 , 1.895) = 2426.86
num. B in (1.835 , 1.895) = 3804.14
===== STATISTICAL SIGNIFICANCE & SIGNAL-TO-NOISE RATIO =====
SS (CURVE) = 30.8784      S/B = 0.674299
SS (HISTO) = 30.7444      S/B(istogramma) = 0.637951
```

...mentre il plot nella canvas: 

In generale:

Significativa' statistica $SS = \frac{S^2}{S + B}$

Purezza $P = \frac{S}{B}$

Utilizzando l'intera informazione fornita dall'interpolazione :

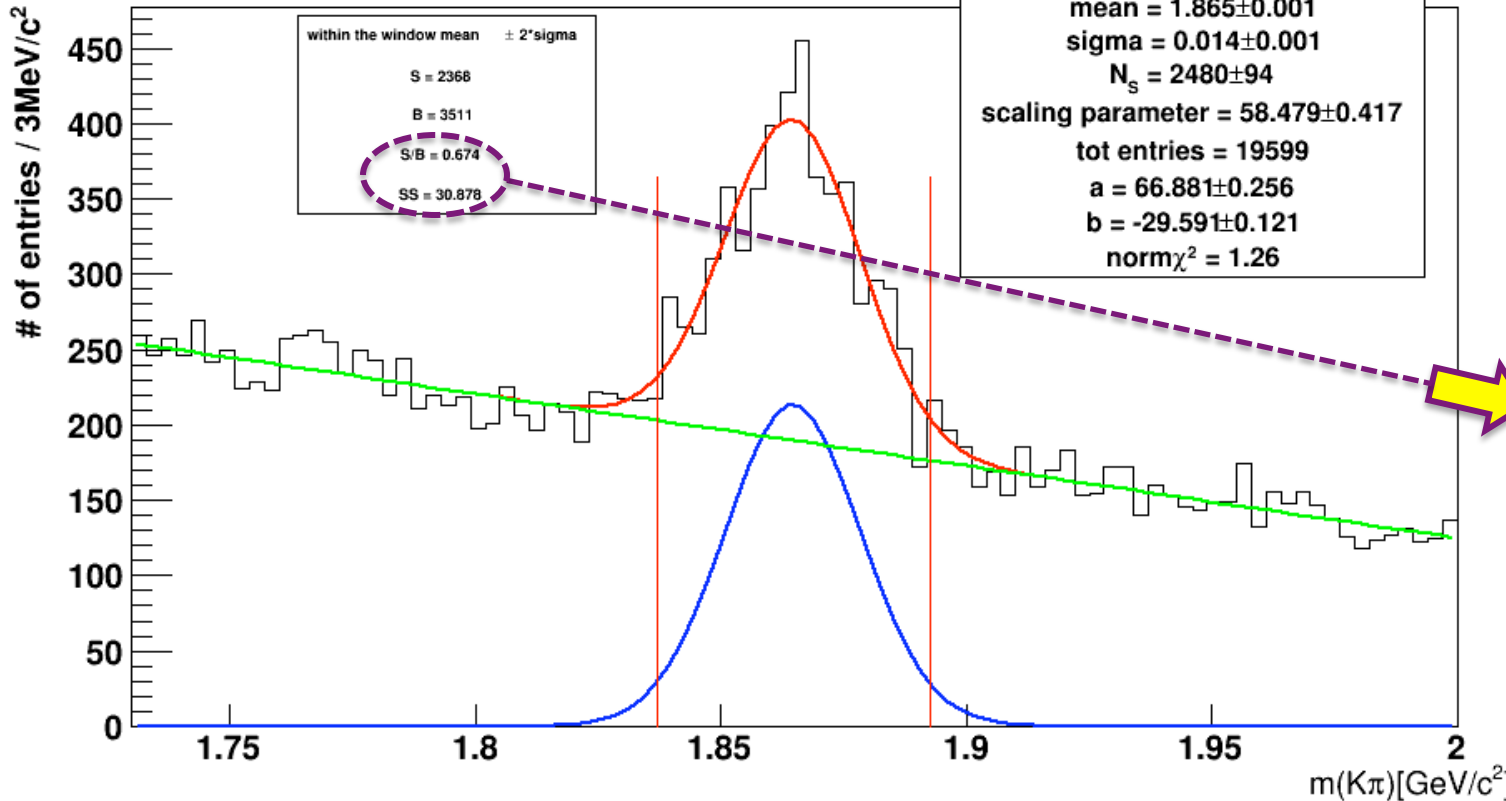
$$SS_{fit} = \frac{S_{fit}}{(S + B)_{fit}}$$

$$P_{fit} = \frac{S_{fit}}{B_{fit}}$$

Utilizzando l'interpolazione parzialmente (per il solo fondo):

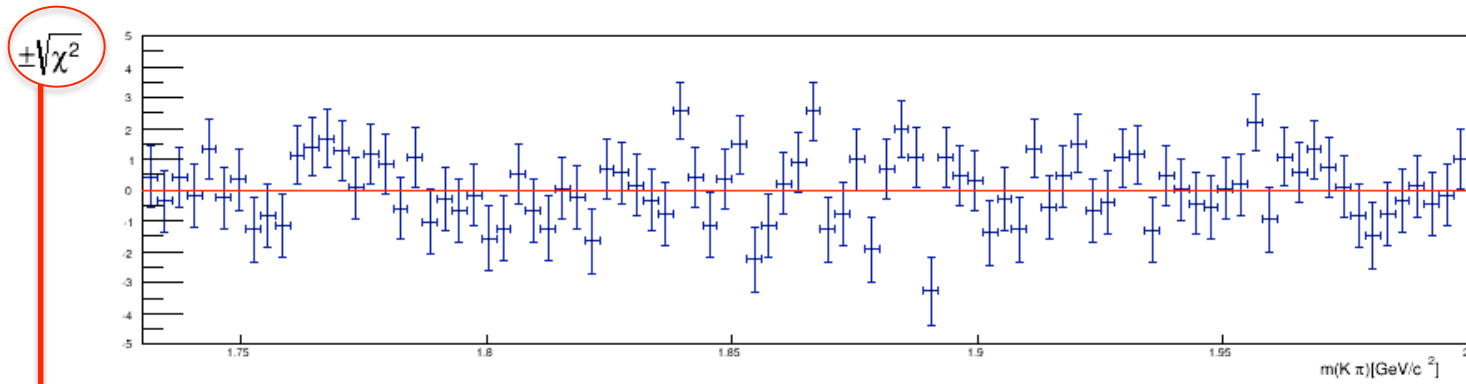
$$SS_{fit-histo} = \frac{S_{fit-histo}}{(S + B)_{histo}} = \frac{(S + B)_{histo} - B_{fit}}{(S + B)_{histo}}$$

$$P_{fit-histo} = \frac{S_{fit-histo}}{B_{fit}} = \frac{(S + B)_{histo} - B_{fit}}{B_{fit}}$$



definizione alla ... slide precedente !

Calcolo di significativita' statistica e di purezza.



Ulteriore analisi della bonta' del fit

definizione alla ... slide seguente !



Definizione dello pseudo chi-quadrato o scarto normalizzato :

Lo scarto normalizzato e' simile alla radice del chi-quadrato corredato di segno (motivo per il quale tecnicamente e' uno "pseudo chi-quadrato"). Lo denoto con $\pm\sqrt{\chi^2}$

L'istogramma degli scarti normalizzati desidero che abbia lo stesso # di bin dell'istogramma della distribuzione di massa invariante.

E' necessario anche rappresentare lo scarto corredato dalla propria barra di errore!

$$\pm\sqrt{\chi^2}(i) = \frac{x_S^i - x_T^i}{\sigma_i} = \frac{N_i - F_i}{\sqrt{N_i}}$$

... essendo : {

- N_i = # candidati nel bin i-esimo dell'istogramma
- F_i = # candidati nel bin i-esimo atteso (assumendo corretto il modello di fit)

Valore sperimentale
Valore atteso (teorico)
Incertezza associata al valore sperimentale

L'incertezza (errore) sullo scarto normalizzato (per ogni bin) si calcola applicando l'usuale legge di propagazione degli errori casuali (tralascio l'indice per alleggerire la notazione):

$$\sigma_{\pm\sqrt{\chi^2}}^2 = \left(\frac{d}{dN} \left(\frac{N-F}{\sqrt{N}} \right) \right)^2 \cdot (\sqrt{N})^2 = \left(\frac{\sqrt{N} - \frac{1}{2\sqrt{N}}(N-F)}{N} \right)^2 \cdot N = \left(\frac{N - \frac{1}{2}(N-F)}{N\sqrt{N}} \right)^2 \cdot N = \left(\frac{1}{2} \left(\frac{N+F}{N} \right) \right)^2$$

In conclusione: $\sigma_{\pm\sqrt{\chi^2}} = \frac{1}{2} \frac{N+F}{N}$ e, ad alta statistica (N grande) si ha: $N \approx F \Rightarrow \sigma_{\pm\sqrt{\chi^2}} \approx 1$